

# نمذجة ومحاكاة نظام GSM لمدينة صغيرة

فراس شوكت حامد

مركز الحاسوب الالكتروني ، المعهد التقني الموصلي ، الموصلي ، العراق

( تاريخ الاستلام: ٢٠٠٩ / ١ / ١٧ ، تاريخ القبول: ٢٥ / ٥ / ٢٠٠٩ )

## الملخص:

يتناول هذا البحث استخدام نظام الاتصالات GSM لتامين الاتصال لمدينة صغيرة (urban area) في محافظة نينوى المتمثلة بناحية أو قضاء (قره قوش ذات تضاريس تحتوي على تلول وجبال) و (عشيقية ذات تضاريس تحتوي على تلول فقط) و (القوش ذات تضاريس جبلية)، حيث تم الاطلاع على الخريطة من قسم علوم الأرض (جيولوجي) في جامعة صلاح الدين (أربيل).

يعتمد البحث على موديل Okumura Hata model لقياس مفهيد القدرة (الضياعات) التي تم نمذجتها على مختلف المناطق للتعرف على العوامل المتعلقة بضياع الإشارة المرسلة بالإضافة إلى قياس المسافة بين المرسل والمستقبل (جهاز الهاتف النقال) وكذلك دراسة وقياس ظواهر الإرسال من ناحية مسار الانتشار وفقد المسار.

وعلى هذا الأساس تم تصميم برنامج محاكي في بيئة الماتلاب (MATLAB) إصدار V7.5 بالاعتماد على الخريطة الرقمية المأخوذة من موقع Google Earth مع الاستعانة ببرنامج GIS المختص بالخريطة، حيث تبين من خلال هذا العمل إمكانية التحكم في تامين الاتصال لمدينة صغيرة بعد تحريك الخلية واختبار الموقع المناسب لها والمساحة المؤمنة للتغطية (توزيع القدرة لثناك المنطقة) والعوامل المتعلقة بضياع الإشارة حيث أعطت الدراسة تواافق كبير بين الرؤية النظرية والمحاكاة.

## ١- المقدمة:

مختلفة من جميع الجهات على حد سواء وعلى مدار ٣٦٠ درجة [٤،٥،٦].

### ٣- حلول الإرسال:

١-٣- التغلب على ظاهرة خسارة مسار الانتشار:

إن مفهيد مسار الانتشار في الفراغ يرتبط بشكل أساسي بكل من التردد والمسافة وفق العلاقة التالية [٧،٨]:

$$P_{or} = \frac{1}{[4\pi d / (c / f)]^2} = \frac{\lambda^2}{(4\pi d)^2}$$

٣: سرعة الضوء وتتساوى  $(3 \times 10^8 \text{ m/s})$

$\lambda$  : طول الموجة .

$P_t$  : القدرة المرسلة.

$P_{or}$  : القدرة الملتقطة في الفراغ الحر.

وتحسب مفهيد مسار الانتشار من الفرق بين قدرتي إشارتين مستقبلتين من مسافتين مختلفتين (d1, d2) كما في العلاقة التالية:

$$\Delta P = 10 \log_{10} \left( \frac{d_1}{d_2} \right)$$

وتقدير مفهيد (خسارة) مسار الانتشار بالديسيبل (dB). يلاحظ أن مفهيد مسار الانتشار لا تتعلق بالتردد و المسافة فقط بل بارتفاع الهوائي في كل من محطة القاعدة و الوحدة المتنقلة وشكل التضاريس. و للتغلب على هذه الظاهرة:

يجب أن يكون التردد المنتشر أعلى من MHZ 30 و تكون المسافة بين محطة القاعدة و الوحدة المتنقلة أقل من km 24 وبذلك لا تؤخذ بعين الاعتبار المفهيد الناتجة عن كروية الأرض.

### ٤- نمذجة المفهيد (Losses modeling):

تعتبر مفهيد المسار (Path Losses) بين المرسلات والمستقبلات من الأمور الأساسية في نظم الاتصالات والواجب معرفتها قبل بناء المنظومة، حيث يتم فحص تلك المعلومات عبر وسائل تحليل عملية قادرة على التبيؤ

نعد الاتصالات الخليوية واحدة من أكثر تطبيقات الاتصالات نموا وأكثرها طلبا على الإطلاق في الوقت الحاضر، واليوم تمثل أكثر الأنظمة التي تتزايد فيها نسبة مشتركي الهاتف في العالم، والهاتف الخليوي هو من أكبر منافسي شبكات الهاتف السلكية التقليدية [١،٢]. إن عملية تصميم وتنظيم الخلية من أهم ما تحتاجها الشبكة الخليوية بهدف الحصول والتأكد من تغطية جيدة للمنطقة المراد تغطيتها مع تجنب التداخل قدر ما يمكن تجنبه.

لقد ركز كثير من الباحثين والمهندسين [٢،٣] على أهمية الاتصالات الخليوية الأمر الذي قادهم إلى نشر محطات البث ونصب الأبراج في المناطق الريفية والنائية لتكثيف خدمة النقال [٣]. غير أن هنالك عوامل ومعوقات تحول دون تامين أو تغطية المناطق المأهولة هذه ومنها العائق الطبيعي (الأشجار العالية والجبال والتلول) ومفهيد المسار وخفوت الإشارة ولم تترك هذه المعوقات بدون معالجة [٤].

خلال العقدين الأخيرين شعبت استخدامات الحاسوب الالكتروني وأصبحت المحاكاة من الأدوات المهمة في تمثيل وتنفيذ كثير من نظم الاتصالات وشكل خاص باستخدام الماتلاب.

تم في هذا البحث إجراء حسابات لمفهيد القدرة والتحكم في تامين الاتصال لمدينة صغيرة (Urban Area) في محافظة نينوى والمتمثلة بثلاث نماذج وهي (قره قوش ذات تضاريس تحتوي على تلول وجبال) و (عشيقية ذات تضاريس تحتوي على تلول فقط) و (القوش ذات سطح جبلي) وتم محاكاة الدراسة في بيئة ماتلاب إصدار V7.5.

## ٢- مشاكل الإرسال:

### ١-٢- خسارة مسار الانتشار:

تحدد خسارة مسار الانتشار الكلية وفقاً لطبيعة التضاريس و المحيط الصناعي الذي يقع ضمن مسار الاتصال بين محطة القاعدة و الوحدة المتنقلة. فالوحدة المتنقلة سوف تستقبل أمواجاً منعكسة كثيرة و موجة واحدة مباشرة. أما الأمواج المنعكسة فسوف تستقبل عند الجانب المتنقل من زوايا

$$1 \leq R \leq 20km$$

**عامل التصحيح:** حيث أن عامل تصحيح الارتفاع الفعال لهوائي المستقبل (جهاز الموبايل) للمدن الصغيرة يعطى بالعلاقة التالية:

$$a(h_m)_{dB} = (1.1 \log f_c - 0.7)h_m - (1.56 \log f_c - 0.8)$$

حيث  $fc \geq 300MHz$

وتعطى معادلة مفائق القدرة (الضياعات) في منطقة الضواحي (suburban area) مقاسة بـ dB:

$$L_{suburban} = L_{(urban)} - 2[\log(f_c / 28)]^2 - 5.4$$

وكذاك لمنطقة ريفية (rural area) مقاسة بـ dB:

$$L_{open} = L_{(urban)} - 4.78(\log f_c)^2 + 18.33 \log f_c - 40.98$$

إذا تعتبر معرفة خسارات مسار الانتشار من أهم العناصر الواجب معرفتها قبل بناء أي منظومة لاسلكية. ويؤخذ في الاعتبار الضياعات الناتجة عن وجود الأبنية والأشجار والسيارات في (Hata model) وتضاف إلى هذه المفائق، المفائق الناتجة من القابلات التي توصل المرسل بهوائي الإرسال أو في القابلات التي توصل المستقبل بهوائي الاستقبال وكذلك المفائق الناتجة عن الخفوت.

والمعرفة قيمة ( $S_{min}$ ) وهي قيمة أقل قدرة يستطيع المستقبل أن يتحسسها فإذا كانت القدرة المرسلة والواصلة للمستقبل أقل من هذه القيمة فإن المستقبل يكون غير قادر على التواصل مع الشبكة أي لا يوجد تغطية لهذه النقطة وتختصر (  $S_{min}$  ) للعلاقة التالية [١٥]:

$$S_{min} = (E_b / N_T) + 10 \log R_b + N_T dB$$

حيث:  $E_b$ : طاقة البت (bit Energy) (bit Rate):

$$N_T = N_\theta + N_F = 10 \log KT + N_F dB$$

حيث:  $N_T$ : كثافة الضجيج الكلية والتي تحدد بالعلاقة التالية:

$$K = \text{ثابت بولتزمان قيمته } (1.38 \times 10^{-20} \text{ mw / hz} / k^0) \text{ درجة الحرارة المطلقة بالكالفن (K).}$$

$$T = 290^\circ \text{ عند } N_o = -174dBm / hz$$

حيث:  $N_F$ : الضجيج المتشكل عند مضخم المستقبل.  
عندذا:

$$P_t = S_{min} - (G_t + G_r) + (L_{fr} + L_{fr} + f_m) + Lp$$

حيث أن:

$L_{fr}$ : المفائق الناتجة في القابلو الذي يصل المرسل بهوائي الإرسال.  
 $L_{fr}$ : المفائق الناتجة في القابلو الذي يصل المستقبل بهوائي الاستقبال.

$f_m$ : مفائق ناتجة عن الخفوت.

## ٥- بناء النظام والمحاكاة:

مخطط توضيحي يبين تسلسل عمل برنامج المحاكاة كما يوضح الشكل (١):

بضياعات الإشارة المرسلة بين محطة الإرسال و أي نقطة ضمن المنطقة المراد تغطيتها لنظام الموبايل. تقوم أنظمة الموبايل المستخدمة في الشبكات الخليوية باستكشاف تأخير الإشارة بواسطة مقاييس تأخير عملية .[١٠،٩]

## ٤-١- فقد المسار ( path loss ) في أنظمة الموبايل:

يملك أي بلد من بلدان العالم أربعة مناطق رئيسية:

١. منطقة ريفية (rural area)

٢. منطقة مدينة (urban area)

٣. منطقة ضواحي (suburban area)

٤. منطقة مفتوحة (open area)

وكل منطقة من هذه المناطق تملك ضياعات مسار مختلفة عن الأخرى حيث بعضها تمتلك مباني - مباني عالية - أشجار - شوارع - سيارات أو مناطق مفتوحة مع وجود جبال أو تلال أو وديان الخ....[١١].

## ٤-٢- طرق قياس فقد المسار:

يتم قياس المفائق بواسطة عدة موديلات والتي تمكن من دراسة مفائق الانتشار ومن ثم حساب عدد الخلايا الازمة لتأمين تغطية مطلوبة لمنطقة معينة ضمن شبكة معينة حيث أن نمو الشبكات بعد ذلك يعتمد على قابلية السعة للخلايا المكونة لهذه الشبكات لأن بعض الأنظمة تحتاج إلى تغطية واسعة و عريضة و قابلية سعة عالية [١٣، ١٢].

وهناك عدة موديلات لدراسة الانتشار وضياعاته ومن هذه الموديلات:

١- Okumura hata model

٢- Walfisch.Ikegami model

في هذا البحث تم اختيار نموذج (Okumura hata model) لبساطته وكثرة انتشاره.

## ٤-٣- حساب المفائق بنموذج Okumura hata model

صمم هذا النموذج وفق مقاييس مبنية لمدينة طوكيو وما حولها [١٤، ١٣].

وتعطى معادلة المفائق الرئيسية لمدينة (urban area) بالعلاقة التالية:

$$L_{urban} = 69.55 + 26.16 \log F_c - 13.82 \log h_b - a(h_m) + (44.9 - 6.55 \log h_b) \log R$$

حيث:

$L_{urban}$ : خسارة المسار الرئيسية مقاسة بـ dB (الضياعات في مركز المدينة (urban area)

$F_c$ : تردد الحامل (Carrier Frequency) مقاسة بـ MHz

$h_b$ : ارتفاع هوائي BTS (محطة القاعدة) مقاسة بـ m.

$h_m$ : ارتفاع هوائي MS (المحطة المتنقلة) مقاسة بـ m.

$a(h_m)$ : عامل التصحيح لارتفاع هوائي الموبايل الفعال مقاسة بـ dB ولها علاقة بنوع المدينة.

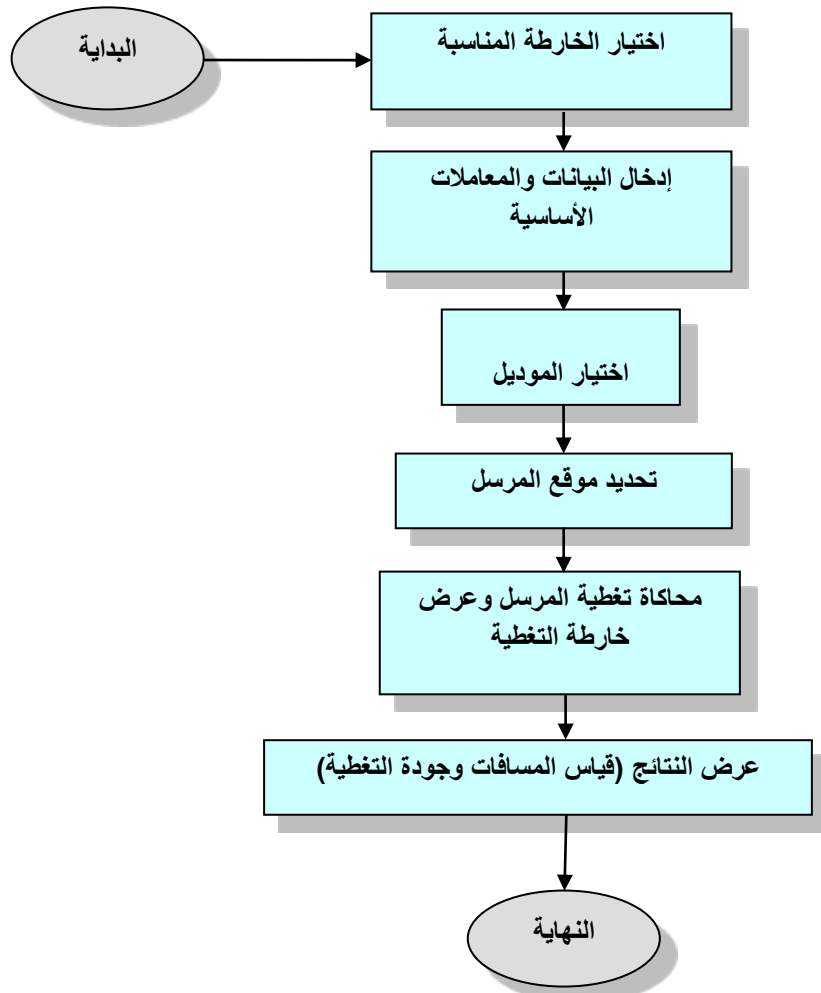
$R$ : المسافة بين BTS و MS مقاسة بـ Km.

والمقدمة المقبولة لمعاملات  $a$  هي:

$$150 \leq fc \leq 1500MHz$$

$$30 \leq h_b \leq 200m$$

$$1 \leq h_m \leq 10m$$



شكل (١) مخطط توضيحي يبين تسلسل عمل برنامج المحاكاة في نظام GSM لمدينة صغيرة

- الارتفاع الفعال لهوائي الإرسال ( $h_{te}$ ) : ويقدر مابين 30-300 m
  - الارتفاع الفعال لهوائي الاستقبال ( $h_r$ ) : ويقدر مابين 10-300 m
  - التردد الراديوي المستخدم(fc) : وقيمه تتراوح من (900-2000 . MHZ
  - القدرة المرسلة (Pt) : وتقدر ما بين (30 - 1 ) واط.
  - **القسم الثالث:**  
اختيار نوع البيئة كما في الشكل (٢) و هي إما:  
• بيئه المدن الصغيرة و المتوسطة ( SMALL - MED .(Town
  - بيئه المدن الكبيرة (LARGE City
  - بيئه الضواحي (SUBURBAN Area
  - بيئه المناطق المفتوحة (OPEN Area
- بعد اختيار الخريطة المناسبة تظهر الواجهة في الشكل (٢):

وفيما يلي وصف موجز للمخطط التوضيحي في الشكل (١) حسب واجهات البرنامج:

**٥- واجهة البرنامج الرئيسية:**  
القسم الأول: جلب وإعداد الخريطة للعمل كما في الشكل (٢) ويتضمن ما يلي:  
١- ملف الخريطة: جلب الخريطة المراد القيام بإجراء عملية الدراسة عليها.  
٢- معامل الضرب : التحكم بأبعاد الخريطة.  
٣- وحدة القياس : وحدة لقياس الأبعاد.  
٤- ارتفاع الخريطة: اختيار الارتفاع المطلوب.

**القسم الثاني:** يتعلق بمعطيات الدخل لمعاملات المنظومة الخليوية كما في الشكل (٢) حيث يتضمن ما يلي:

- ربح المستقبل (Gr) وربح هوائي المرسل (Gt) يعطى بالديسيبل (dB)

loadingForm

ملف الخريطة :

معامل الضرب :

وحدة القياس :

ارتفاع الخريطة :

12 Gt 0 Gr

3 hre 100 hte

9 pt 900 fc

النموذج

المدن الصغيرة و المتوسطة

المدن الكبيرة

الضواحي

المناطق المفتوحة

لغاء الأمر

موافق

## شكل (٢) الواجهة الرئيسية للبرنامج لإدخال إعدادات الخريطة

### ٣- خريطة الارتفاعات:

تعرض الارتفاعات لمختلف نقاط ومناطق المنطقة الجغرافية حيث أن المناطق الأعلى ارتفاعاً باللون الأبيض والمناطق الأقل ارتفاعاً باللون الأسود ودرج الألوان مابين الأبيض والأسود يرافقه تدرج الارتفاعات فكلما ازداد اللون عتمة كلما دل على ارتفاع أقل.

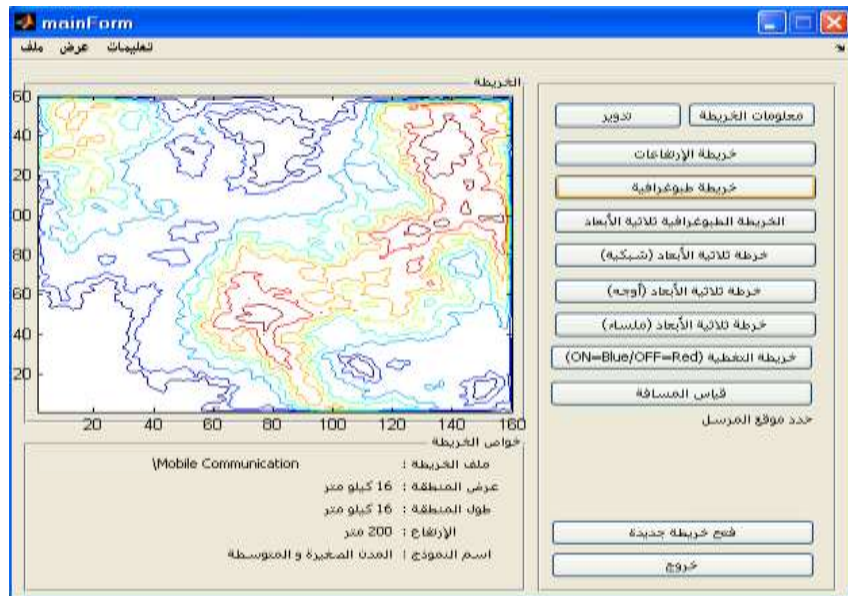
وتشمل (طول وعرض وارتفاع الخريطة واسم ملف الخريطة ومساره).

## الدوران حول الخريطة لإيصال تفاصيل المنطقة المدرسة.

شكل (٣) خريطة الارتفاعات

وهي تعطي صورة ثانية البعض لمعالم وارتفاعات المنطقه وهي تدرج من اللون القرمزي الأكثر ارتفاعا إلى اللون الأزرق الأقل ارتفاعا كما في الشكل (٤):

#### ٤- الخريطة الطبوغرافية:



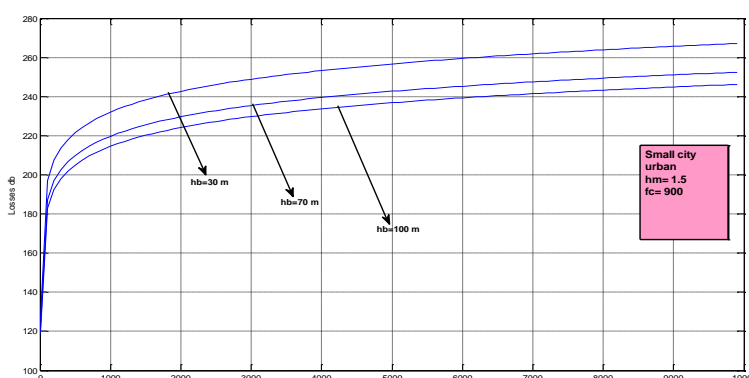
الشكل (٤) الخريطة الطبوغرافية لمعالم وارتفاعات المنطقة

وتحوضح الأشكال (٤,٥) مجمل هذه المفاهيد والعوامل المؤثرة لكل

حالة:

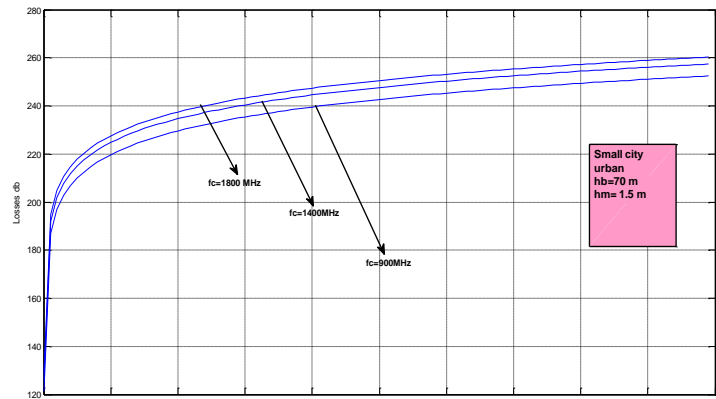
١- المفاهيد في مركز المدينة نقل كلما زاد ارتفاع هوائي BTS كما في

الشكل (٥):



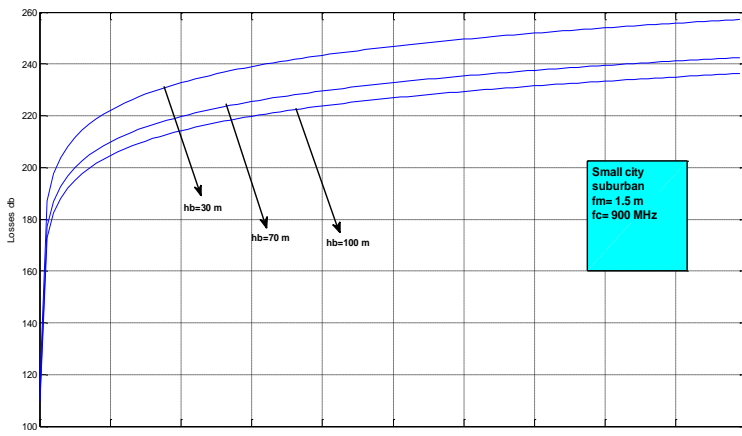
شكل (٥) المفاهيد في مركز المدينة الصغيرة بتغيير قيم ارتفاع هوائي BTS

٢- المفاهيد في مركز المدينة الصغيرة تزداد بازدياد التردد الحامل  $fc$  لاحظ الشكل (٦):



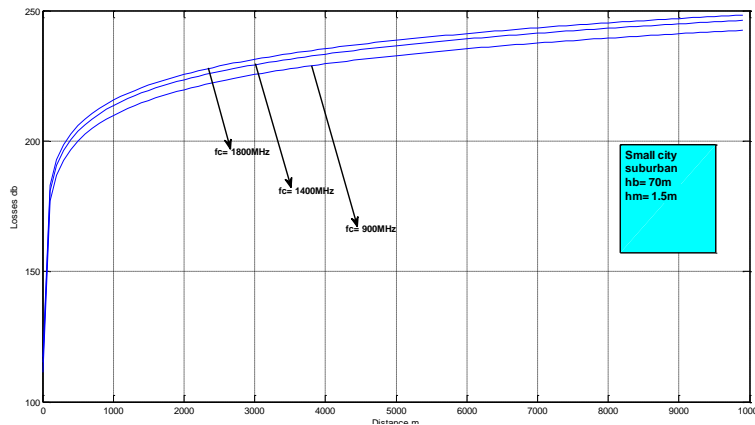
شكل (٦) المفاهيد في مركز المدينة الصغيرة بتغيير تردد الحامل  $fc$

٣- المفاهيد في ضواحي المدينة الصغيرة تزداد كلما نقص ارتفاع هوائي BTS لاحظ الشكل (٧):



شكل (٧) المفأيد في ضواحي المدينة الصغيرة بتغيير قيم ارتفاع هوائي BTS

٤- المفأيد في ضواحي المدينة الصغيرة تزداد بازدياد التردد الحامل  $fc$  كما في الشكل (٨):



شكل (٨) المفأيد في ضواحي المدينة الصغيرة بتغيير تردد الحامل  $fc$

ذات سطح جبلي) وفيما يلي نماذج خرائط طبوغرافية وتغطية ل Nahiyah قره ذات سطح جبلي

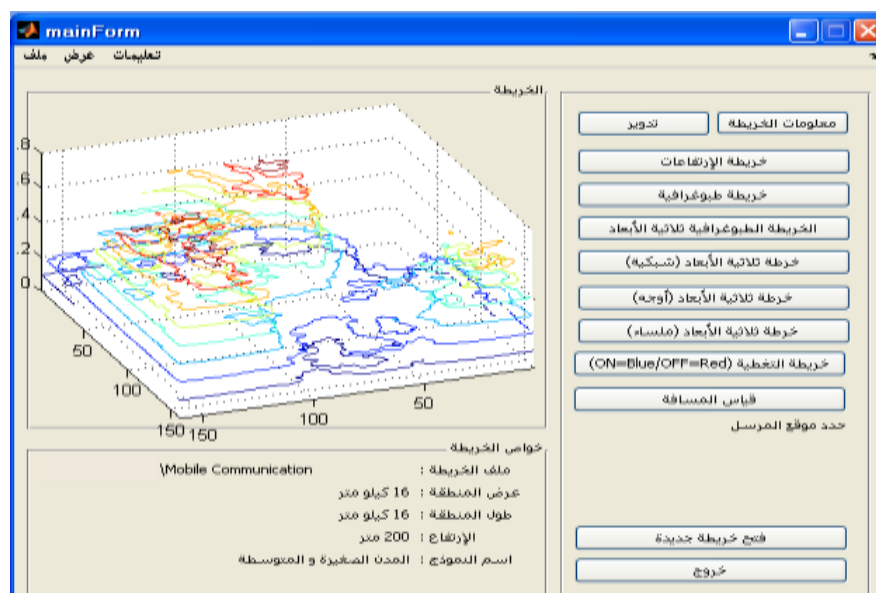
قوش:

بعد إجراء هذا البحث على المناطق (قره قوش ذات تضاريس تحتوي على

١- الخرائط الطبوغرافية ثلاثة الأبعاد:

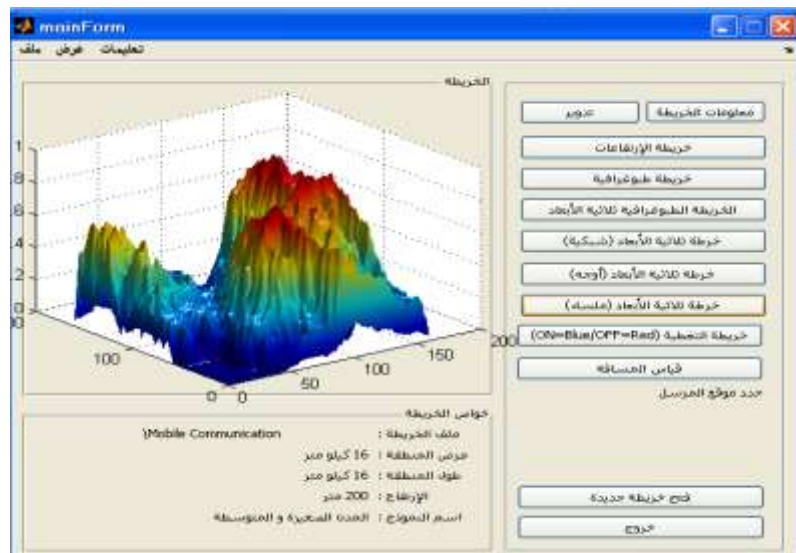
تلو وجبال) و (عشيقه ذات تضاريس تحتوي على تلول فقط) و (القوش

مجسمًا واقعياً للمنطقة المدروسة وبأبعاده الثلاثة كما في الشكل (٩):

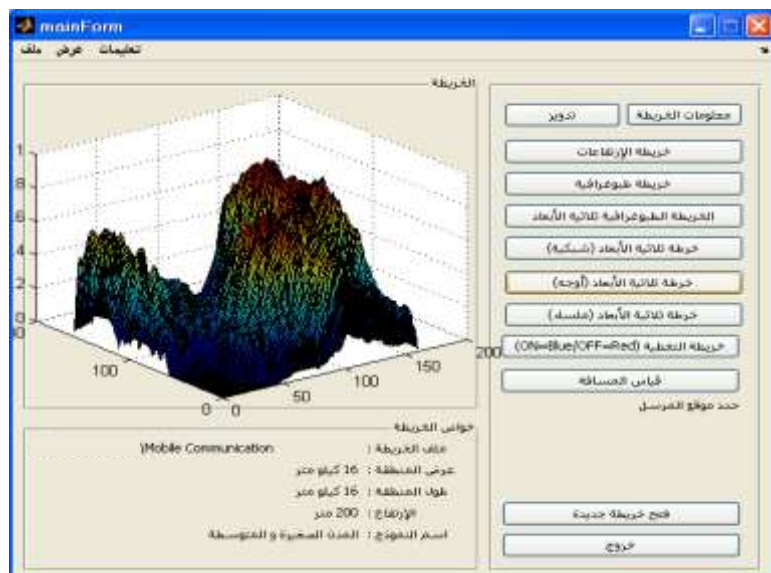


الشكل (٩) خريطة طبوغرافية ثلاثة الأبعاد

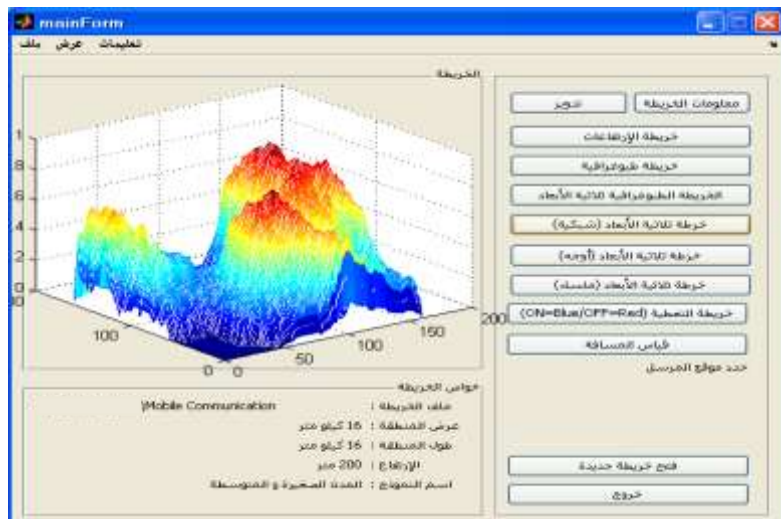
الخرائط الطبوغرافية ثلاثة الأبعاد (ملسae- أوجه- شبكيه) كما هو واضح من الأشكال (١٠ و ١١ و ١٢) التالية:



الشكل (١٠) خريطة طبوغرافية ثلاثية الأبعاد - ملمس



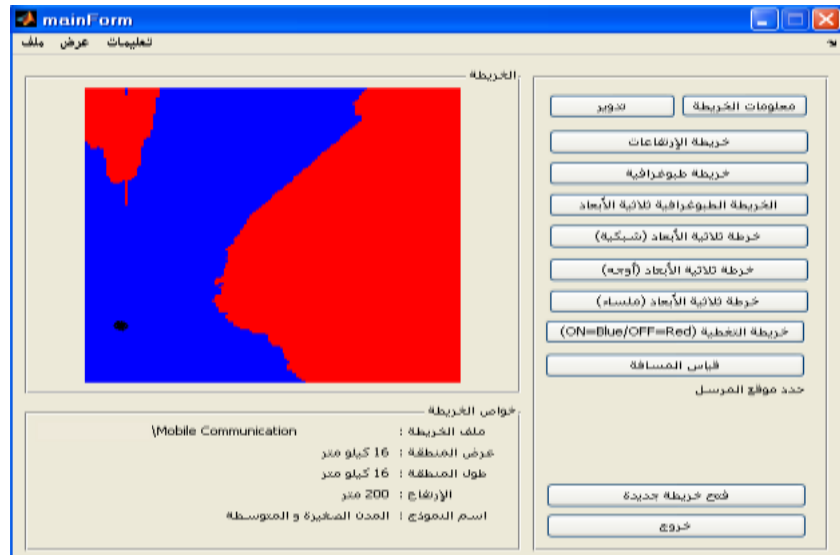
الشكل (١١) خريطة طبوغرافية ثلاثية الأبعاد-أوجه



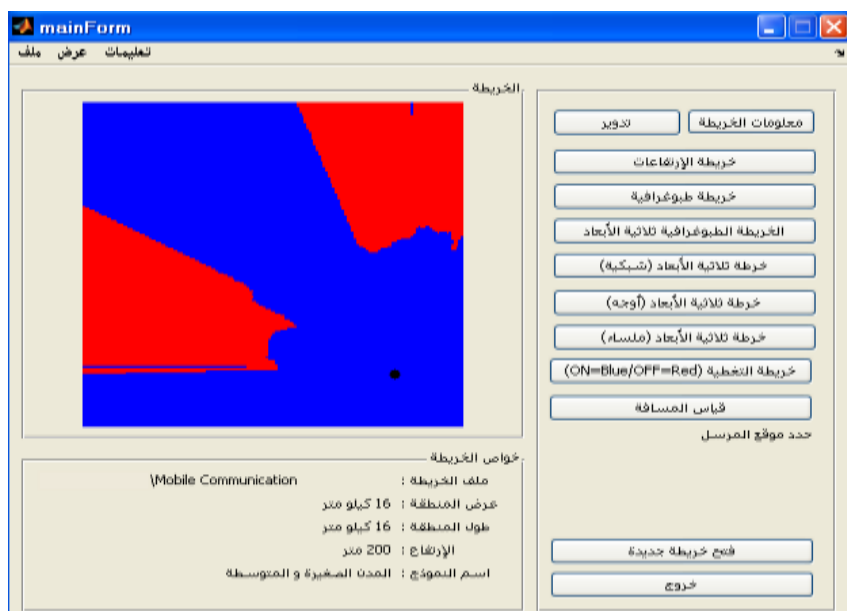
الشكل (١٢) خريطة طبوغرافية ثلاثية الأبعاد-شبكة

غير مغطاة وعند تحريك هوائي محطة الإرسال يشاهد الفرق في تغطية المنطقة حسب موقع المرسل وكما يظهر في الأشكال (١٣، ١٤، ١٥) التالية:

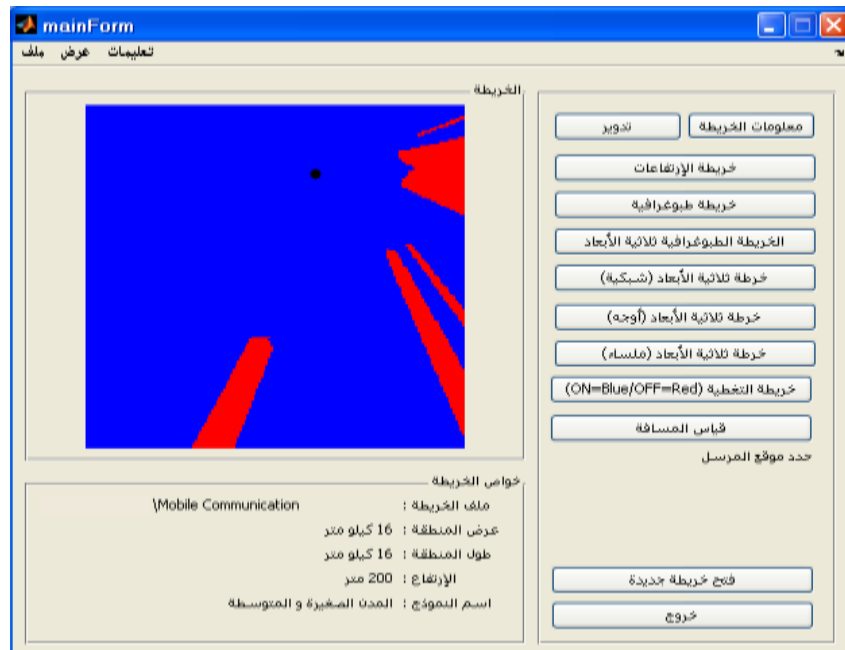
٢- خريطة التغطية (ON=blue/ OFF=red):  
تظهر التغطية لخلية واحدة حيث أن اللون الأزرق يعني أن المنطقة مغطاة من قبل هوائي محطة الإرسال أما اللون الأحمر فيعني أن المنطقة



الشكل (١٣) خريطة التغطية لناحية قره قوش (ON/OFF)



الشكل (١٤) خريطة التغطية لناحية القوش (ON/OFF)

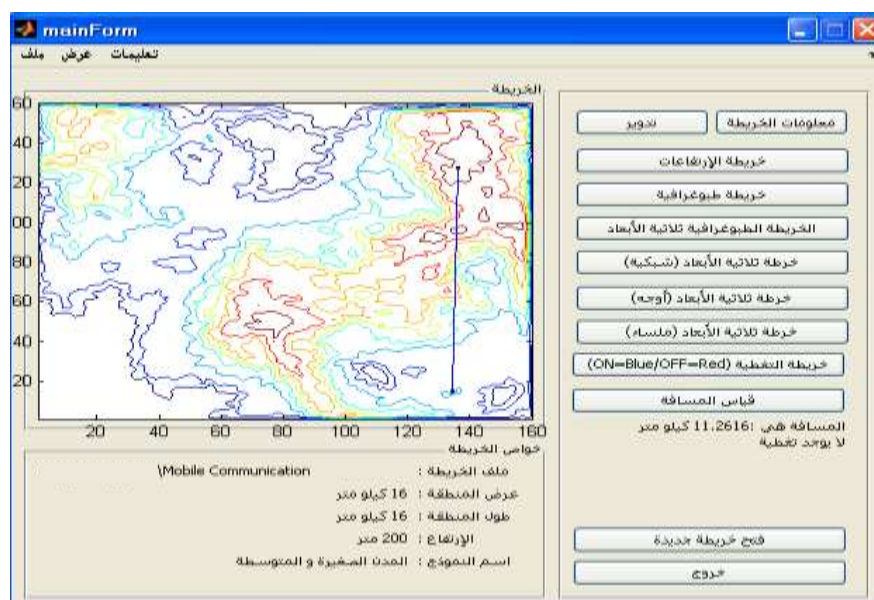


الشكل (١٥) خريطة التغطية لناية بعشيقه (ON/OFF)

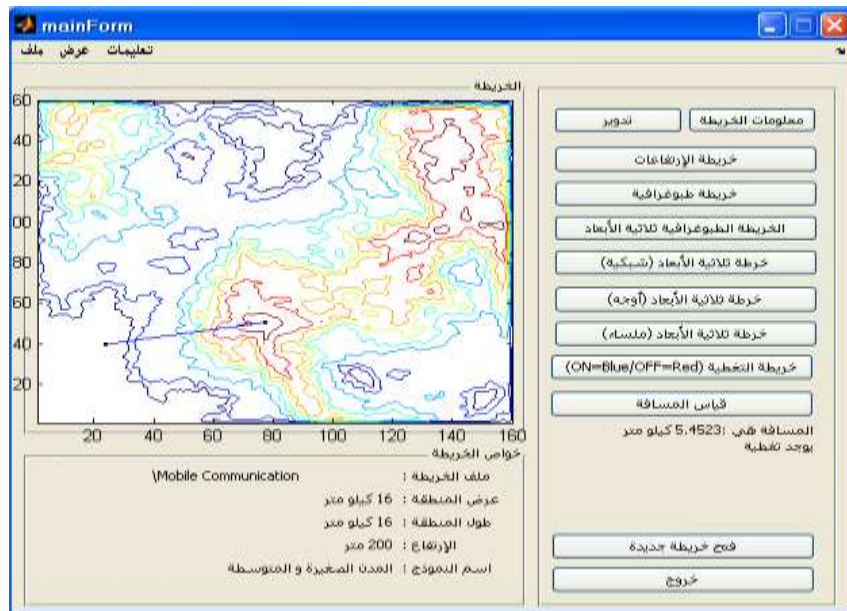
تم قياس المسافة بين المرسل (هواي الإرسال لمحطة القاعدة) والمستقبل:

(جهاز الموبايل) من خلال تجربتين كما في الشكل (١٦،١٧).

٦-٣- نتائج قياس المسافة بين المرسل والمستقبل:



الشكل (١٦) خريطة توضح المسافة بين المرسل والمستقبل مع عدم وجود التغطية.لتجربة (١)



الشكل (١٧) خريطة توضح المسافة بين المرسل والمستقبل مع وجود الخطوط التجريبية (٢)

تعطي مرونة (إذا اعتمدتها شركات الاتصالات) في تسريع التصميم وتوفير خدمة الاتصالات الخلوية للمشترين. تم أيضا حساب مفأيد مسار الانتشار لإشارة المرسلة من هوائي محطة القاعدة وحتى هوائي Okumura المستقبل(جهاز الموبايل) وقد وقع الاختيار على نموذج hata لبساطة معادلات مفأيد المسار فيه وكثرة استخدام هذا النموذج.

#### الاستنتاجات:

تبين من خلال هذا البحث أن النمذجة بطريقة Okumura مناسبة جدا لقياس مفأيد الاتصال الخلوية للمدن الصغيرة ذات التضاريس المتباينة والتي خضعت لهذه الدراسة. كما أن المحاكاة بالماتلاب أعطت نتائج جيدة اعتمدت في التخطيط والتصميم لاختيار الأبراج والقدرة الالزامية لتأمين الاتصال لهذه المدن، وان الواجهات الرسومية GUI المطبقة في البحث

#### المصادر

- [http://www.bryte.net/gsm/airlink.asp.](http://www.bryte.net/gsm/airlink.asp) Accessed 20th April 2003.
- [11] A. Robert , "THE CELLULAR CONNECTION ", Fourth Edition, 2000, ISBNs: 0-471-31652-0, JOHN WILEY & SONS, INC.
- [12] M. Mouly and M.-B. Pautet, *GSM Protocol Architecture: Radio Sub-system Signalling*, IEEE 41st Vehicular Technology Conference, 1991.
- [13] M. Mouly and M. B. Pautet, "Current Evolution of the GSM Systems," IEEE Pers. Commun., vol. 2, no. 5, Oct. 1995, pp. 9-19.
- [14] Yi-Bing Lin and Imrich Chlamtac, *Wireless and Mobile Network Architectures*, John Wiley & Sons, 2001.
- [15] *Digital Cellular Telecommunication System, Enhanced Data Rates for GSM Evolution Project Plan and Open Issues for EDGE* (GSM 10.59, version 1.6), ETSI, 1997.

- [1] H. Wang et al, " *Data acquisition in distribution system with the GSM network* ", Power System Technology, IEEE 2002. Proceedings. PowerCon. International Conference on Vol: 3, PP: 1768- 1771, ISBN: 0-7803-7459-2.
- [2] M. J. Van et al, " *Activation of Home Automation System via Mobile Technology* ", Institute of Technology and Engineering, new Zealand, Jan 2006.
- [3] Gunnar Heine, *GSM Networks: Protocols, Terminology and Implementation*, Artech House, January 1999; ISBN 0890064717.
- [4] *Introduction to GSM by Performance Technologies*, Accessed January, 2007.
- <http://www.pt.com/products/gsmintro.html>.
- [5] Hamid Shahzad, Nishant Jain, *Internet Protocol based Mobile Radio Access Network Architecture for Remote Service Areas*, Masters of Science thesis, September 27, 2007.
- [6] Gunnar Heine, *GSM Networks: Protocols, Terminology, and Implementation*, 1999 ARTECH HOUSE, INC.685 Canton Street Norwood, MA 02062.
- [7] C. Perkins, " *Mobile IP* ", IEEE Communications Magazine, May 1997.
- [8] D. Plassman, " *Location management strategies for mobile cellular networks of 3rd generation* ", IEEE VTC '94, PP. 649-653, 1994.
- [9] B. Walke, " *Mobile Radio Networks, Networking and Protocols* ", J. Wiley, 1999.
- [10] *GSM airlink information*,

## GSM Modeling and Simulation for Urban Area

Firas Shawkat Hamid

Computer Center , Technical Institute Mosul , Mosul , Iraq

( Received 17 / 1 / 2009 , Accepted 25 / 5 / 2009 )

### Abstract:

This paper is concerned about communication insurance in GSM system for Urban Area. The Urban Areas of study are: (karah-koush that topographic relief has mountains and mounds), (Ba'shikah that topographic relief has only mound) and (AL-koush has mountain topographic) at neniva province. the cartograms of those areas are supervised by geology science department in Salah Aldeen university (Irbil).

The Okumura Hata model is used to measure the power losses that are modeled for different locations. The aim is to identify the factors concerning transmission signal losses as well as evaluate the distance between the transmitter and receptor (mobile device). moreover the transmitting phenomena about the propagation path and path loss are studied.

On this bases a design of simulating program is implemented using the Matlab environment version 7.5 that dependent on the digital cartograms from URL Google Earth address with the aide of GIS program that associated with artograms, through this work that explain possibility to control for communication insurance Urban Area after moving the cell and test the suitable location and covered area for covering (power distribution for this location and the parameters that is related to signal losses. This study has gave a large compatible between the theoretical visibility and the simulation.